微合金钢中碳化物在奥氏体和铁素体中的 沉淀析出动力学研究

郑亚旭1,2,杨 钦1,赵紫玉3*,魏翠虎4,回士旭2,吴康业2

(1. 河北科技大学材料科学与工程学院, 河北省材料近净成形技术重点实验室, 河北 石家庄 050018; 2. 盐城市联鑫 钢铁有限公司, 江苏 盐城 224003; 3. 唐山科技职业技术学院, 河北 唐山 063016; 4. 中钢集团邢台机械轧辊有限公司, 河北 唐山 063016)

摘 要:根据多元复合析出相的固溶热力学计算和经典形核长大动力学理论,研究了 Ti-Mo、Ti-Nb-Mo 和 Ti-Nb-Mo-V 复合微合金化钢中碳化物在奥氏体 (γ) 和铁素体 (α) 中沉淀析出规律。研究表明,在 γ 区, Ti-Mo 钢中析出相主要为富 Ti 的 (Ti, Mo)C 粒子,在较高温度区间,Ti-Nb-Mo 和 Ti-Nb-Mo-V 钢中主要析出富 Ti 富 Nb 的碳化物粒子。在 α 区,Ti-Mo 和 Ti-Nb-Mo 钢中析出相主要为富 Mo 的碳化物粒子,Ti-Nb-Mo-V 钢主要析出富 V 的碳化物粒子。Ti-Mo、Ti-Nb-Mo 钢中析出相在 γ 中沉淀析出的 PTT 曲线和 NrT 曲线分别呈 "C" 和反 "C"形,而 (Ti, Nb, Mo, V)C 在奥氏体中沉淀析出 NrT 曲线呈反 " ϵ "形,随着温度降低开始析出时间先缩短后延长。(Ti, Nb, Mo, V)C 在高温奥氏体区形核速率最快,(Ti, Nb, Mo)C 次之,(Ti, Mo)C 最慢,且对应形核的最快析出温度依次升高。在铁素体区,(Ti, Mo)C 和 (Ti, Nb, Mo)C 的 PTT 曲线和 NrT 曲线分别呈现 " ϵ "形和反 " ϵ "形。Ti-Nb-Mo-V 钢中碳化物在整个铁素体区的形核速率快于 Ti-Mo 和 Ti-Nb-Mo 钢。

关键词:微合金钢;碳化物;热力学计算;析出动力学;PTT 曲线

中图分类号: TF76, TG142.1 文献标志码: A

文献标志码:A 文章编号:1004-7638(2024)02-0139-10

DOI: 10.7513/j.issn.1004-7638.2024.02.020

开放科学 (资源服务) 标识码 (OSID):



听语音 聊科研

Study on the precipitation kinetics of carbides in austenite and ferrite of microalloyed steels

Zheng Yaxu^{1, 2}, Yang Qin¹, Zhao Ziyu^{3*}, Wei Cuihu⁴, Hui Shixu², Wu Kangye²

(1. School of Material Science and Engineering, Hebei University of Science and Technology, Hebei Key Laboratory of Material Near-net Forming Technology, Shijiazhuang 050018, Hebei, China; 2. Yancheng Lianxin Steel Co., Ltd., Yancheng 224003, Jiangsu, China; 3. Tangshan Vocational College of Science and Technology, Tangshan 063016, Hebei, China; 4. Sinosteel Xingtai Machinery & Mill Roll Co., Ltd., Xingtai 054025, Hebei, China)

Abstract: According to the solid solution thermodynamic calculation of the multi-composite precipitated phases and the classical nucleation growth kinetic theory, the deposition and precipitation of carbides in austenite (γ) and ferrite (α) phases in Ti-Mo, Ti-Nb-Mo and Ti-Nb-Mo-V composite microalloyed-steels were studied. It is shown that in γ phase, the precipitates in Ti-Mo steel are mainly Ti-enriched (Ti, Mo) C particles. In the higher temperature range, Ti-Nb-Mo and Ti-Nb-Mo-V steels

收稿日期:2023-03-21

基金项目:国家青年基金(52204341);国家自然科学基金面上项目(52174311, 52274332);河北省钢铁联合基金(E2021208006, E2022208068)。

作者简介:郑亚旭, 1983 年出生, 女, 河北邢台人, 博士, 研究方向: 钢铁材料强韧化, E-mail: zhengyaxu1984@163.com; *通讯作者: 赵紫玉, 1983 年出生, 女, 河北唐山人, 本科, 讲师, 研究方向: 金属压力加工, E-mail: 281622734@qq.com。

mainly precipitate carbide particles enriched in Ti and Nb. In the ferritic zone, the precipitates in Ti-Mo and Ti-Nb-Mo steels are mainly Mo-enriched carbide particles, while in Ti-Nb-Mo-V steel, V-enriched carbide particles are mainly precipitated. The PTT and NrT curves of the precipitated phases in Ti-Mo and Ti-Nb-Mo steels show "C" and reverse "C" shapes, respectively, while the NrT curves of (Ti, Nb, Mo, V) C precipitated in austenite show reverse shapes "ɛ". As the temperature decreases, the precipitation time first decreases and then prolongs. The nucleation rate of (Ti, Nb, Mo, V) C is the fastest in the high-temperature austenitic zone, followed by (Ti, Nb, Mo) C, and that of (Ti, Mo) C is the slowest. The corresponding fastest nucleation precipitation temperature increases in sequence. In the ferritic region, the PTT and NrT curves of (Ti, Mo) C and (Ti, Nb, Mo) C are presented "ɛ" form and reverse "ɛ" shape, respectively. The nucleation rate of carbides in Ti-Nb-Mo-V steel is faster in the entire ferritic zone than in Ti-Mo and Ti-Nb-Mo steels.

Key words: microalloy steel, carbides, thermodynamic calculation, precipitation kinetics, PTT curves

0 引言

微合金钢作为目前研究广泛且性能优良的材料之一,通过在普通低碳钢中添加微合金元素如 Ti、Nb、Mo、V等,与钢中的 C、N 形成多元复合的碳氮化物^[1-3],通过合理控制钢中析出相在奥氏体和铁素体中的析出行为,能够改善钢的力学性能^[4-6],并且通过细化钢中晶粒尺寸达到细晶强化的目的^[7],还能通过析出弥散细小的碳化物颗粒起到提高沉淀强化增量的效果^[8-11]。

刘欣^[12]研究了 V含量的增加对 (Nb, V, Ti)C 析出行为的影响,结果表明,随着 V含量的增多, (Nb, V, Ti)C 在位错线上的最大形核率温度逐渐降低。倪玲玲^[13]等通过研究 Ti-V 复合微合金钢中沉淀析出的 (Ti, V)C 的 PTT 曲线发现,最快析出鼻子点温度为 960~980 ℃。甘晓龙^[14]研究了 V对 Ti-Mo 钢中碳化物析出行为的影响,结果表明,在 Ti-Mo 钢中添加 V使 (Ti, Mo)C 在高温奥氏体区析出的 PTT 曲线向左移动,促进了 (Ti, Mo)C 在高温奥氏体区的沉淀析出,却延迟了 (Ti, Mo)C 在低温奥氏体区的析出。姚娜^[15]和张可^[16]等对多元复合析出相做了热力学及动力学的研究,同时研究了改变

形变储能与形变诱导析出量对钢中碳化物沉淀析出行为的影响。许多学者研究了 Nb-Ti, Ti-Mo 以及 Ti-Mo-V 复合微合金化钢的组织演变和碳化物析出行为^[17-22]。然而,对 Ti-Nb-Mo-V 多元复合微合金钢中碳化物的析出动力学研究较少,并且对不同合金体系碳化物析出行为的对比分析也鲜有报道。

因此,笔者基于经典形核长大理论和 Avrami 方程,建立了微合金钢中 (Ti, Mo)C、(Ti, Nb, Mo)C 和 (Ti, Nb, Mo, V)C 在奥氏体和铁素体中的沉淀析出动力学模型^[20],通过计算 Ti-Mo、Ti-Nb-Mo 和 Ti-Nb-Mo-V 钢中碳化物在奥氏体和铁素体中的 NrT 和 PTT 曲线研究了沉淀析出动力学,对比了不同合金体系中的碳化物析出行为,系统深入分析了碳化物析出规律,为开发微合金化高强钢提供技术参考和理论指导,为获得良好综合性能的钢材做准备。

1 试验材料与分析方法

1.1 试验材料

设计了三组不同成分的微合金化钢, $1^{\#}$ 钢为 Ti-Mo 钢, $2^{\#}$ 钢是在 Ti-Mo 钢的基础上添加了 0.07% 的 Nb, $3^{\#}$ 钢是在 Ti-Nb-Mo 的基础上添加了 0.25% 的 V,具体成分如表 1 所示。

%

表 1 Ti-Mo、Ti-Nb-Mo 和 Ti-Nb-Mo-V 钢的主要化学成分 Table 1 Main chemical compositions of Ti-Mo, Ti-Nb-Mo and Ti-Nb-Mo-V steels

编号	钢种	С	Si	Mn	N	Ti	Mo	Nb	V
1#	Ti-Mo	0.07	0.23	1.5	0.003	0.1	0.28	0	0
2#	Ti-Nb-Mo	0.09	0.23	1.5	0.003	0.1	0.28	0.07	0
3#	Ti-Nb-Mo-V	0.11	0.23	1.5	0.003	0.1	0.28	0.07	0.25

 1.2 微合金钢中析出相平衡固溶的热力学计算方法 在计算多元复合析出相平衡固溶的热力学之前, 应对固溶析出的理论模型做出相应假设。以 Ti-Nb-Mo-V 钢为例, 其中析出的第二相为 (Ti, Nb, Mo,

V)C, 化学式为 (Ti_x , Nb_y , Mo_z , V_w)C, 1 mol 的 (Ti_x , Nb_y , Mo_z , V_w)C 由 x mol TiC、y mol NbC、z mol MoC 和 w mol VC 组成, 且 x+y+z+w=1 [14,16,23]。

根据多元第二相在钢中平衡固溶的计算方法^[23], 钢中的 Ti、Nb、Mo、V 和 C 元素的固溶量用 [Ti]、[Nb]、[Mo]、[V] 和 [C] 表示, 且符合相应的固溶度积公式, 复合析出相中的 Ti、Nb、Mo、V 和 C 元素的含量保持理想化学配比, 可以得到 (1)~(9):

$$\lg \frac{[\text{Ti}][\text{C}]}{x} = A_1 - \frac{B_1}{T} \tag{1}$$

$$\lg \frac{[Nb][C]}{y} = A_2 - \frac{B_2}{T}$$
 (2)

$$\lg \frac{[Mo][C]}{7} = A_3 - \frac{B_3}{T}$$
 (3)

$$\lg \frac{[V][C]}{w} = A_4 - \frac{B_4}{T}$$
 (4)

$$\frac{\text{Ti} - [\text{Ti}]}{\text{C} - [\text{C}]} = \frac{xA_{\text{Ti}}}{A_{\text{C}}} \tag{5}$$

$$\frac{Nb - [Nb]}{C - [C]} = \frac{yA_{Nb}}{A_{C}} \tag{6}$$

$$\frac{\text{Mo} - [\text{Mo}]}{\text{C} - [\text{C}]} = \frac{zA_{\text{Mo}}}{A_{\text{C}}} \tag{7}$$

$$\frac{\mathbf{V} - [\mathbf{V}]}{\mathbf{C} - [\mathbf{C}]} = \frac{wA_{\mathbf{V}}}{A_{\mathbf{C}}} \tag{8}$$

$$x + y + z + w = 1 \tag{9}$$

式中, A_1 、 B_1 、 A_2 、 B_2 、 A_3 、 B_3 、 A_4 、 B_4 分别为二元相的固溶度积公式中的相应常数; A_{Ti} 、 A_{Nb} 、 A_{Mo} 、 A_V 、 A_C 分别为 Ti、Nb、Mo、V 和 C 元素的相对原子质量。联立方程式 $(1) \sim (9)$,可以得到在确定的温度 T 时, Ti、Nb、Mo、V、C 元素在基体中的平衡固溶量 [Ti]、[Nb]、[Mo]、[V]、[C] 以及第二相 $(Ti_x, Nb_y, Mo_z, V_w)C$ 化学式中的 x、y、z、w 这 9 个未知量[14,23]。

(Tix, Nbv, Moz, Vw)C 的体积分数为:

$$f_{(\text{Ti}_x,\text{Nb}_y,\text{Mo}_z,\text{V}_w)\text{C}} = \{(\text{Ti} - [\text{Ti}]) + (\text{Nb} - [\text{Nb}]) + (\text{Mo} - [\text{Mo}]) + (\text{V} - [\text{V}]) + (\text{C} - [\text{C}])\} \times$$

$$\frac{d_{\text{Fe}}}{100 \times d_{\text{CTi.,Nb.,Mo.,V.,iC}}} \tag{10}$$

式中, d_{Fe} 为铁的密度, 7.875 g/cm³; $d_{(\text{Ti}_x,\text{Nb}_y,\text{Mo}_z,\text{V}_w)C}$ 为第二相 (Ti_x, Nb_y, Mo_z, V_w)C 的密度, g/cm³, 可利用线性内插法求得。TiC、NbC、MoC 和 VC 的密度分别为 4.944、7.803、8.774 g/cm³ 和 5.717 g/cm³。

1.3 多元复合析出相动力学计算

研究中仅计算了钢中析出相均匀形核和位错形核两种形核机制。以 Ti-Nb-Mo-V 钢为例, 均匀形

核时, 析出相 (Ti_x, Nb_y, Mo_z, V_w) C 的体积摩尔自由能变化 (ΔG_V) 、临界形核尺寸 (d^*) 、临界形核功 (ΔG^*) 如式 $(11) \sim (13)$ 所示。

 $\Delta G_V =$

 $\frac{-19.1446B+19.1446T[A-\lg([Ti]^x\cdot[Nb]^y\cdot[Mo]^z\cdot[V]^w\cdot[C])}{V}$

(11)

$$d^* = -\frac{4\sigma}{\Delta G_V} \tag{12}$$

$$\Delta G^* = \frac{16\pi\sigma^3}{3\Delta G_V^2} \tag{13}$$

式中, σ 为新相与母相的比界面能,J/mol; V_m 为析出相的摩尔体积, m^3/mol 。(Ti, Nb, Mo, V)C 在奥氏体中均匀形核的形核率表达式为:

$$I = \mathbf{K} \cdot d^{*2} \exp\left(-\frac{\Delta G^* + Q}{kT}\right) \tag{14}$$

式中,Q为原子扩散激活能,J/mol; K为常数;k取 $1.38 \times 10^{-23} J/K^{[23]}$ 。

(Ti, Nb, Mo, V)C 均匀形核的开始析出时间为:

$$\frac{\lg(t_{0.05a})}{\lg(t_{0a})} = \frac{2}{3} \left(-1.28994 - 2\lg d^* + \frac{1}{\ln 10} \cdot \frac{\Delta G^* + 2.5Q}{kT} \right)$$
(15)

对于位错线上形核, (Ti, Nb, Mo, V)C 的临界形核尺寸和临界形核功如式 (16)~(17)。

$$d_d^* = -\frac{2\sigma}{\Delta G_V} \left(1 + (1 + \beta)^{\frac{1}{2}} \right) \tag{16}$$

$$\Delta G_d^* = \frac{16\pi\sigma^3}{3\Delta G_V^2} (1+\beta)^{\frac{2}{3}}$$
 (17)

(Ti, Nb, Mo, V)C 析出相在位错线上形核率 I_d 为 $^{[23]}$:

$$I_d = \mathbf{K} \cdot \pi \rho b^2 d_d^{*2} \exp\left(-\frac{Q_d + \Delta G_d^*}{kT}\right)$$
 (18)

式中, ρ 为位错密度,在奥氏体中取 10^{13} m⁻²,铁素体中取 10^{14} m⁻²; Q_a 约为 $2/3Q_o$

(Ti, Nb, Mo, V)C 在位错线上形核时, 得到其析出相对开始时间为:

$$\frac{\lg(t_{0.05da})}{\lg(t_{0da})} = -1.28994 - 2\lg d_d^* + \frac{1}{\ln 10}.$$

$$\frac{(1+\beta)^{\frac{3}{2}}\Delta G^* + \frac{5}{3}Q}{4T}$$
(19)

复合微合金钢中碳化物在奥氏体和铁素体中析 出热力学和动力学计算所涉及的相关参数如表 2 所示。假设钢的终轧温度为 880 ℃,选择 880 ℃下 钢中 Ti、Nb、Mo、V 和 C 的固溶量作为初始成分来 计算钢中碳化物在铁素体区的固溶与析出。钢中碳 化物在铁素体中以均匀形核和位错形核两种形核机 制下的相关计算与上述相同。

表 2 复合微合金钢中碳化物在奥氏体/铁素体中析出动力 学的相关参数

Table 2 Parameters related to the precipitation kinetics of carbides in γ/α in composite microalloy steels

析出	相	固溶度积	M元素的扩散 激活能/kJ	点阵常数/nm	线胀系数α/K ⁻¹
TiC	γ α	2.75-7 000/ <i>T</i> 4.4-9 575/ <i>T</i>	251 248	0.431 8	7.86×10^{-6}
NbC	$_{\alpha}^{\gamma}$	2.96-7 510/ <i>T</i> 5.43-10 960/ <i>T</i>	266.5 252	0.446 9	7.02×10^{-6}
MoC	γ α	4.251-3 468/ <i>T</i> 6.163-7 583/ <i>T</i>	240 229	0.427 7	6.88×10^{-6}
VC	γ α	6.72-9 500/ <i>T</i> 4.55-8 300/ <i>T</i>	264 241	0.418 2	8.29×10^{-6}

2 结果与分析

2.1 钢中碳化物在奥氏体中的固溶析出

图 1 是 Ti-Mo 钢, Ti-Nb-Mo 钢和 Ti-Nb-Mo-V 钢中 [Ti], [Mo], [Nb] 和 [V] 随温度变化的曲线。从图 1 可以得到三组钢中 [Ti] 和 [Mo] 变化规律一致,随着温度的降低, 钢中 Ti 的平衡固溶量逐渐降低,当温度低于 700 ℃时, 钢中 Ti 的平衡固溶量趋近于零, 图中 Mo 元素固溶量的变化范围在 0.279% ~ 0.28%, 不如 Ti, Nb 的变化明显, 因此 Mo 元素在奥氏体中析出极少。在 Ti-Nb-Mo 钢和 Ti-Nb-Mo-V 钢中, Nb 元素的平衡固溶量也随着加热温度的降低而呈现递减的趋势, 结果如图 1 (b)、(c) 所示。在 950 ~ 1 100 ℃ 范围内, Ti-Nb-Mo-V 钢中 V 的平衡固溶量降低速率明显小于 Ti 和 Nb。当温度低于900 ℃时, V 固溶量的降低速率明显加快。

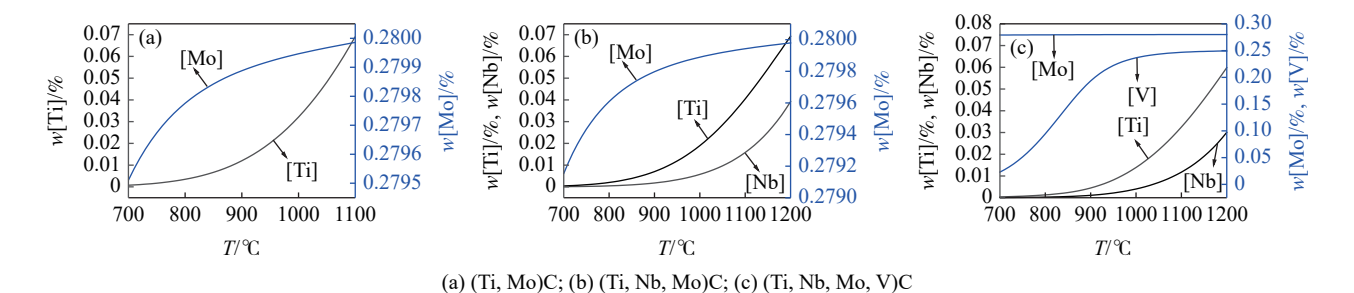


图 1 温度对 Ti、Mo、Nb 和 V 平衡固溶量的影响 Fig. 1 Effect of temperature on equilibrium solid solution of Ti, Mo, Nb and V

图 2 为 Ti-Mo、Ti-Nb-Mo 和 Ti-Nb-Mo-V 钢中 的C平衡固溶量和在奥氏体中析出相体积分数随 温度变化的曲线。由图 2(a) 可知, 随着温度的下降, Ti-Mo 和 Ti-Nb-Mo 钢中 C 的平衡固溶量降低逐渐 平缓。由于在高温下 Ti 和 Nb 都将大量析出,而 Mo 在奥氏体温度区间析出极少, 因此影响 C 的平 衡固溶量的主要因素是 Ti 和 Nb。当温度在 950~ 1 100 ℃ 时, Ti-Nb-Mo-V 钢中 C 平衡固溶量变化趋 势与其它两组钢相近, 当温度低于 950 ℃ 时, C 平 衡固溶量下降明显加快,这是由于 V 开始大量析出, 消耗量了钢中的 C。由图 2(b) 可知, Ti-Mo 钢与 Ti-Nb-Mo 钢中析出相体积分数随温度变化的规律相 近, 均是随着温度的降低其上升趋势逐渐减缓。此 时 Ti-Mo 钢和 Ti-Nb-Mo 钢中 Mo 元素几乎不析出。 当温度低于950℃时,此时钢中V与C极易生成 VC, VC 的大量析出导致 Ti-Nb-Mo-V 钢中的析出

相体积分数明显高于 Ti-Mo 钢和 Ti-Nb-Mo 钢^[14]。

图 3 为 Ti-Mo、Ti-Nb-Mo 和 Ti-Nb-Mo-V 钢中析出碳化物的化学式系数随温度变化的曲线。由图 3(a) 可知, Ti-Mo 钢中 Mo 元素占比极低, 此时在奥氏体中析出的碳化物主要是富 Ti 的 (Ti, Mo)C 粒子。图 3(b) 中 Ti-Nb-Mo 钢的碳化物中 Ti 所占的比重最大, 其次是 Nb 元素, 钢中的 Mo 所占的比例很低, Ti-Nb-Mo 钢中主要析出富 Ti 富 Nb 的碳化物粒子。随着温度的降低, Ti-Nb-Mo-V 钢碳化物中 Ti 所占比随着温度的降低呈现先升高后降低的趋势, Nb 占比逐渐降低, 而 V 所占比例逐渐增加。当温度高于 900 ℃时, Ti-Nb-Mo-V 钢中主要是富Ti 和富 Nb 的碳化物粒子, 当温度低于 860 ℃时, 析出碳化物中 V 所占的比例明显高于 Ti 和 Nb, 此时钢中主要是富 V 的 (Ti, Nb, Mo, V)C 粒子, 另外Mo 元素所占比极低, 结果如图 3(c) 所示。

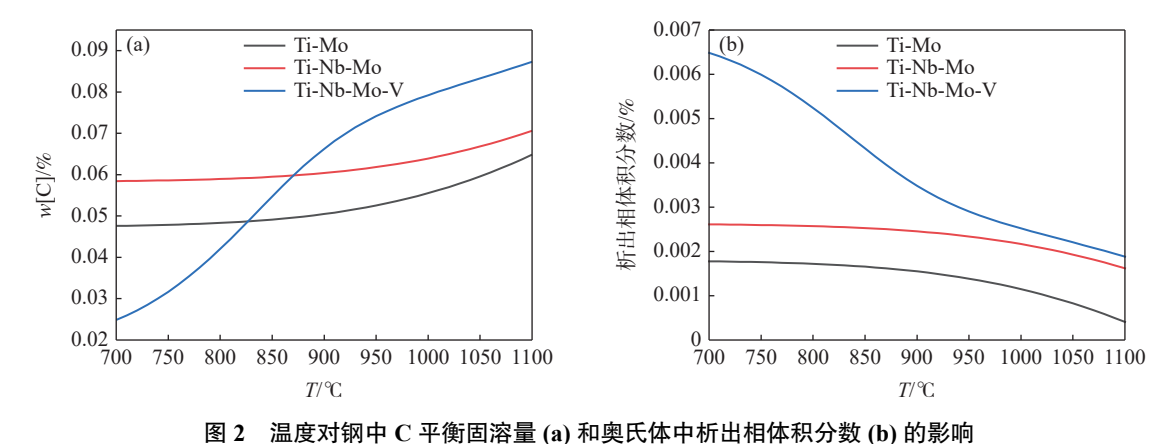


Fig. 2 Effect of temperature on C equilibrium solid solution in steel (a) and volume fraction of the precipitated phases in austenite(b)

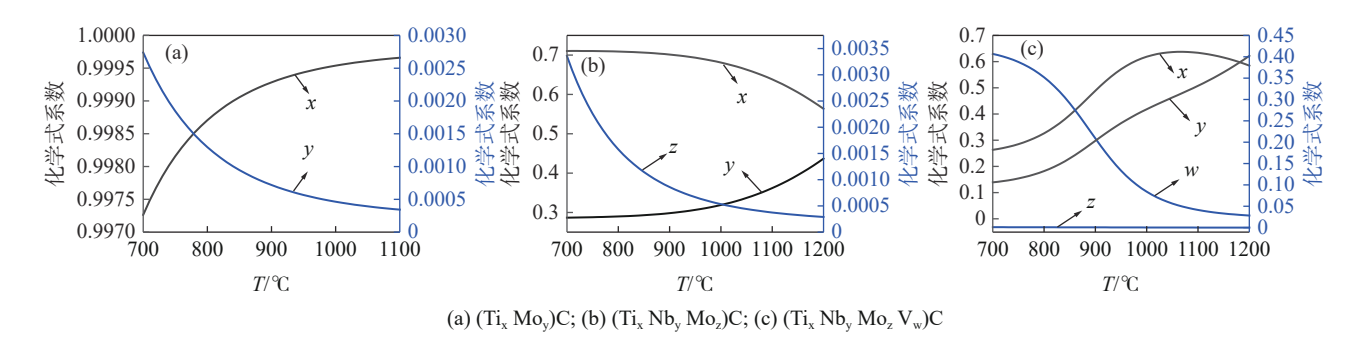


图 3 化学式系数随温度变化的曲线 Fig. 3 A curve of chemical formula coefficient as a function of temperature

2.2 钢中碳化物在奥氏体中析出动力学

表 3 为 Ti-Mo、Ti-Nb-Mo 和 Ti-Nb-Mo-V 钢中 碳化物在奥氏体中均匀形核的形核参量,为了直观 比较,将表3的数据绘成图4。由图4可知,均匀形 核时, Ti-Mo 和 Ti-Nb-Mo 钢中析出相在奥氏体中 的 NrT 曲线呈现反 "C" 形, PTT 曲线呈 "C" 形。Ti-Mo 和 Ti-Nb-Mo 钢中碳化物沉淀析出的 NrT 曲线 和 PTT 曲线均存在交点, 当温度高于 790 ℃ 时, 在 Ti-Mo 钢中添加 Nb 元素, 使 (Ti, Mo)C 的 NrT 曲线 向右上方移动。当温度高于 810 ℃ 时, (Ti, Nb, Mo)C 的形核速率快于 (Ti, Mo)C, 说明 Nb 元素的 加入促进了 Ti-Mo 钢中碳化物的析出, 当温度低于 810 ℃ 时, 在 Ti-Mo 钢中添加 Nb 却延迟了 (Ti,Mo)C 的析出。Ti-Nb-Mo-V钢中碳化物在奥氏体中沉淀 析出的 NrT 曲线呈反 "ε" 形。由于 TiC 和 NbC 与 VC 在 γ 区的固溶度积相比相差较大, 当温度高于 900 ℃ 时, Ti-Nb-Mo-V 钢中主要是富 Ti 和富 Nb 的碳化物粒子。当温度低于 900 ℃, Ti-Nb-Mo-V 钢 中 V 元素析出加快, V 所占的比例迅速升高, 这将 导致 (Ti, Nb, Mo, V)C 的形核率呈现先增大后减小 再增大的趋势。从图 4 (b) 可以看出, 随着温度的降

低,(Ti, Nb, Mo, V)C 在奥氏体中均匀形核的开始析出时间呈现先缩短后延长的趋势。Ti-Mo、Ti-Nb-Mo和 Ti-Nb-Mo-V 钢中碳化物在奥氏体中均匀形核的最快析出温度依次升高,分别为 840、930 $^{\circ}$ 和 990 $^{\circ}$ 。当温度高于 900 $^{\circ}$ 时,(Ti, Nb, Mo, V)C 的形核速率快于 (Ti, Nb, Mo)C。

表 3 Ti-Mo、T-Nb-Mo 和 Ti-Nb-Mo-V 钢中碳化物在奥氏 体中均匀形核的形核参量

Table 3 Uniform nucleation parameters of carbides in austenite in Ti-Mo, T-Nb-Mo and Ti-Nb-Mo-V steels

T/ °C	Т	i-Mo	Ti-Nb-Mo		Ti-Nb-Mo-V	
1/ G	lg(I/K)	$\lg(t_{0.05 \text{ a}}/t_{0 \text{ a}})$	lg(I/K)	$\lg(t_{0.05 \text{ a}}/t_{0 \text{ a}})$	lg(I/K)	$\lg(t_{0.05 \text{ a}}/t_{0 \text{ a}})$
700	-20.79	26.49	-21.50	27.20	-20.55	26.85
750	-20.56	25.68	-20.92	26.14	-20.63	26.21
800	-20.67	25.15	-20.53	25.27	-20.87	25.72
850	-21.28	25.01	-20.38	24.62	-20.89	25.13
900	-22.72	25.47	-20.53	24.22	-20.50	24.31
950	-25.85	27.10	-21.13	24.16	-20.25	23.63
1 000	-33.14	31.54	-22.45	24.61	-20.66	23.45
1 050	-55.11	45.80	-25.09	25.99	-22.02	23.96
1 100	-194.45	138.33	-30.60	29.31	-25.04	25.61

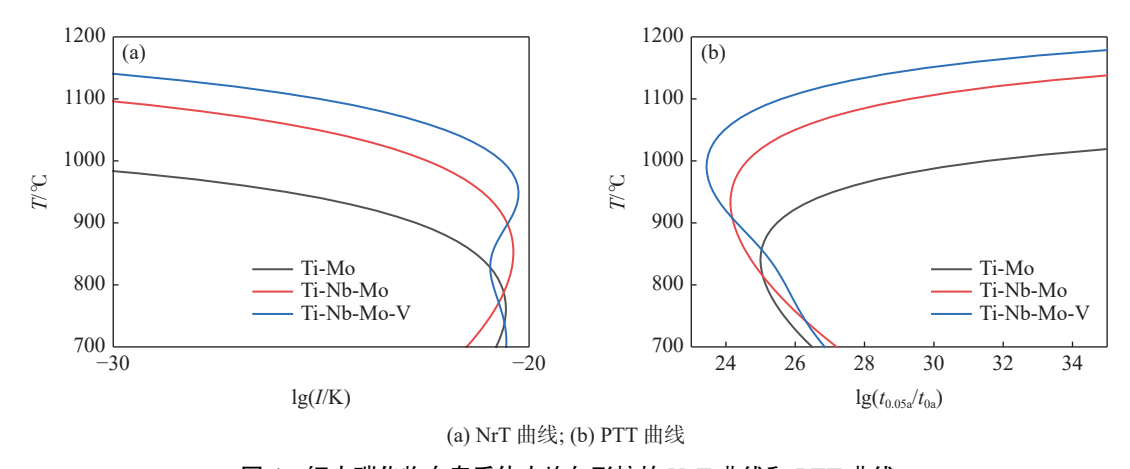


图 4 钢中碳化物在奥氏体中均匀形核的 NrT 曲线和 PTT 曲线 Fig. 4 (a) NrT and (b) PTT curves of uniform nucleation of carbides in austenite in steels

表 4 为 Ti-Mo、Ti-Nb-Mo 和 Ti-Nb-Mo-V 钢中 碳化物在奥氏体中位错线上形核的形核数据。将 表 4 的数据绘成图 5。由图 5 可知, 三组钢中析出 相在奥氏体位错线上形核的 NrT 曲线和 PTT 形状 与均匀形核方式相似。当温度高于 860 ℃ 时, Nb 元素的添加能促进 Ti-Mo 钢中碳化物的析出, 当温 度高于 890 ℃ 时, 同一温度下, (Ti, Nb, Mo, V)C 在 位错线上形核速率快于 (Ti, Nb, Mo)C 和 (Ti, Mo)C。 Ti-Mo、Ti-Nb-Mo 和 Ti-Nb-Mo-V 钢中碳化物在奥 氏体中位错线上形核的 PTT 曲线的鼻子点温度分 别为840、920 ℃和980 ℃。微合金钢中碳化物在 位错线上形核的相对形核率比均匀形核要大5个数 量级左右。另外位错形核的相对析出时间要比均匀 形核快大约4个数量级。由此说明奥氏体中微合金 钢中的析出相的形核方式主要以在位错线上形核 为主。

表 4 Ti-Mo、Ti-Nb-Mo 和 Ti-Nb-Mo-V 钢中碳化物在奥氏体中位错线上形核的计算结果

Table 4 Calculation results of carbide nucleation in austenite dislocation line in Ti-Mo, Ti-Nb-Mo and Ti-Nb-Mo-V steels

<i>T</i> / ℃	Ti-Mo		Ti-	Nb-Mo	Ti-Nb-Mo-V	
	lg(I/K) _d	$\lg(t_{0.05 \text{ da}}/t_{0 \text{ da}})$	lg(I/K) _d	$\lg(t_{0.05 \text{ da}}/t_{0 \text{ da}})$	lg(I/K) _d	$\lg(t_{0.05 \text{ da}}/t_{0 \text{ da}})$
700	-15.90	22.41	-16.43	23.19	-16.08	23.13
750	-15.71	21.57	-16.17	22.25	-15.90	22.24
800	-15.74	21.00	-16.01	21.49	-15.95	21.65
850	-16.09	20.80	-16.00	20.93	-16.06	21.15
900	-17.03	21.25	-16.19	20.61	-16.03	20.57
950	-19.22	22.98	-16.70	20.66	-16.10	20.12
1 000	-24.71	28.05	-17.74	21.28	-16.56	20.13
1 050	-42.61	45.56	-19.83	22.98	-17.68	20.85
1 100	-167.31	169.90	-24.29	27.09	-20.10	22.90

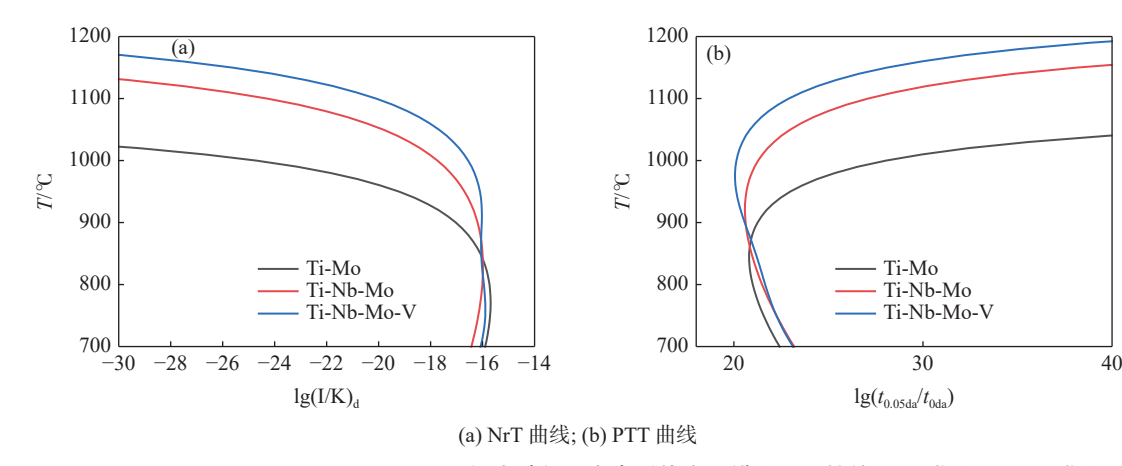


图 5 Ti-Mo、Ti-Nb-Mo 和 Ti-Nb-Mo-V 钢中碳化物在奥氏体中位错线上形核的 NrT 曲线和 PTT 曲线 Fig. 5 (a) NrT curves and (b) PTT curves of carbides nucleated in austenite dislocation lines in Ti-Mo, Ti-Nb-Mo and Ti-Nb-Mo-V steels

2.3 钢中碳化物在铁素体中的固溶析出

从图 6 可知, 三组试验钢中 Ti 的平衡固溶量变化都很小, 且趋近于零, 这表明三组钢中的 Ti 在奥氏体中已基本完全析出。Ti-Nb-Mo 钢和 Ti-Nb-Mo-V 钢中的 Nb 元素变化规律类似, 可以看到 Nb 元素的固溶量极少, 此时 Nb 元素也基本全部析出, 结果如图 6(b) 和图 6(c) 所示。Ti-Mo 钢和 Ti-Nb-Mo 钢中的 Mo 和 C 元素在铁素体区的平衡固溶量变化规律一致, 并且当温度在 700 ℃以上时, Mo 元素处于固溶态, 当温度在 500~700 ℃ 范围内, Mo 元素的固溶量迅速减少, 并以 MoC 的形式沉淀析出。从图 6(c) 可以看出, Ti-Nb-Mo-V 钢中的 Mo 元素的固溶量随温度的降低逐渐减少, 当温度低于 700 ℃时, Mo 元素固溶量减少的速率明显小于 Ti-Mo 和Ti-Nb-Mo 钢, 这是由于温度在 700~800 ℃ 范围时, 钢中 V 元素固溶量迅速降低, 钢中 V 与 C 亲和力

较强, 易形成 VC, 消耗掉了 C, 从而导致 Mo 元素析 出速率减缓^[14]。

图 7 是温度对化学式系数的影响曲线, 从图 7(a) 可以看出, 当温度在 500~635 ℃ 范围内, y 值所对应的 Mo 元素所占比在 85% 以上, 说明此时 Ti-Mo 钢中主要析出富 Mo 的为 (Ti, Mo)C 粒子。图 7 (b) 中 Ti 与 Mo 所占比与图 7(a) 情况相近, Nb 元素所占比在 670~770 ℃ 范围内急剧下降, 但相较于 Ti 和 Mo 的所占比, Nb 的所占比很低。温度低于 650 ℃时, Ti-Nb-Mo 钢中主要析出富 Mo 的为 (Ti, Nb, Mo)C 粒子。图 7(c) 中 Ti, Nb 的所占比虽有变化, 但数值极小, Mo 元素所占比随着温度的降低而逐渐升高, 这也符合图 6(c) 中 Mo 元素的固溶量的变化。Ti-Nb-Mo-V 钢析出相中 V 的所占比随温度的降低而缓慢下降, 但 V 的所占比最大, 此时钢中主要析出为富 V 的 (Ti, Nb, Mo, V)C 粒子。

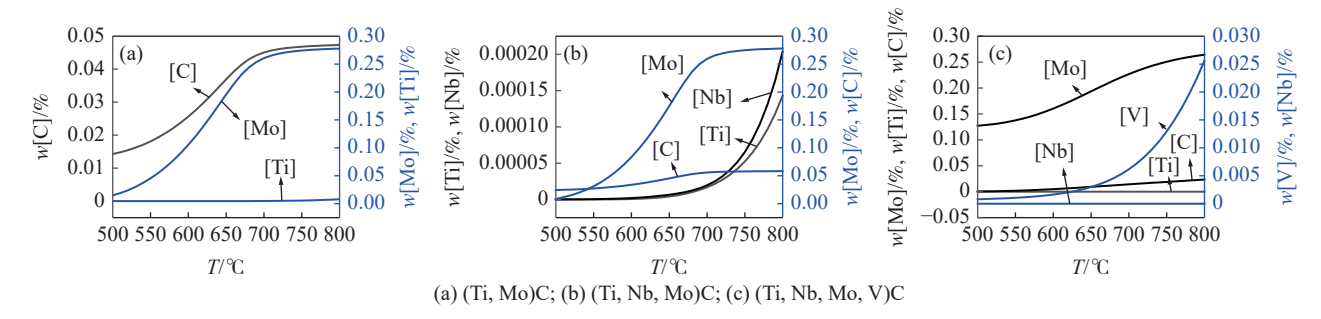


图 6 铁素体区加热温度对 Ti-Mo、Ti-Nb-Mo 和 Ti-Nb-Mo-V 钢中微合金元素平衡固溶量的影响 Fig. 6 Effect of heating temperature of ferritic zone on the equilibrium solid solution of microalloying elements in Ti-Mo, Ti-Nb-Mo and Ti-Nb-Mo-V steels

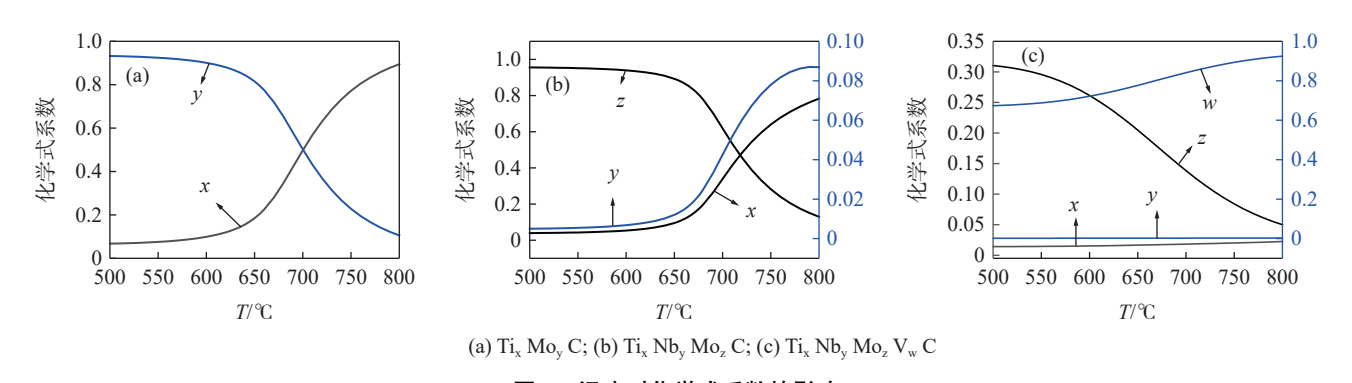


图 7 温度对化学式系数的影响 Fig. 7 Effect of temperature on chemical formula coefficients

图 8 是 Ti-Mo、Ti-Nb-Mo 和 Ti-Nb-Mo-V 钢中铁素体区析出的 MC 相体积分数随温度的变化曲线。随着温度的降低, Ti-Mo、Ti-Nb-Mo 和 Ti-Nb-Mo-V 钢中析出相体积分数均呈现上升的趋势。在525~650 ℃ 范围内, 相同温度下 Ti-Nb-Mo 钢中析

出相的析出体积分数略高于 Ti-Mo 钢,而 Ti-Nb-Mo-V 钢中析出相的体积分数明显高于 Ti-Mo 和 Ti-Nb-Mo 钢,这表明 Ti-Nb-Mo-V 钢在铁素体区析出的碳化物所产生的沉淀强化增量明显提高。

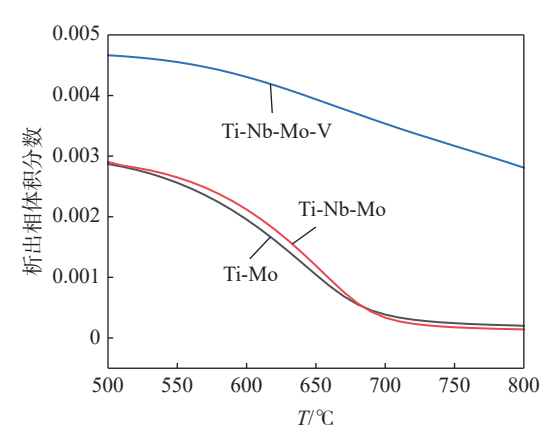


图 8 铁素体区温度对 Ti-Mo、Ti-Nb-Mo 和 Ti-Nb-Mo-V 钢中析出相体积分数的影响

Fig. 8 Effect of ferritic zone temperature on volume fraction of precipitated phases in Ti-Mo, Ti-Nb-Mo and Ti-Nb-Mo-V steels

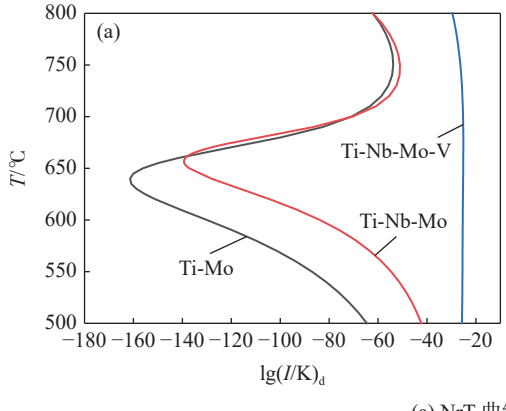
2.4 钢中碳化物在铁素体中的析出动力学

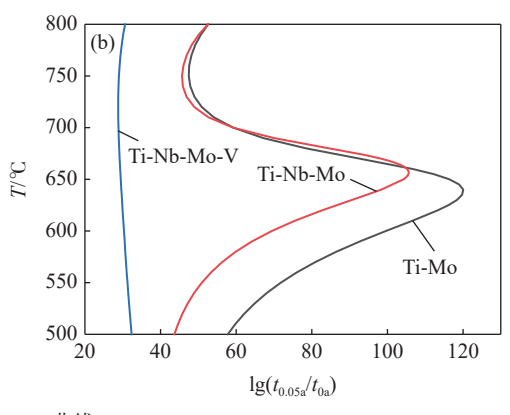
表 5 为钢中碳化物在铁素体区均匀形核时的形核参量,图 9 是根据表 5 的数据绘制的钢中碳化物在铁素体均匀形核的 NrT 曲线和 PTT 曲线。由图 9 可知,随着温度的降低,Ti-Mo 钢和 Ti-Nb-Mo 钢中析出相的形核率呈现先增加后减小再增加的趋势,与其相对应的开始析出时间呈现先缩短后延长再缩短的趋势。主要原因是当温度高于 700 ℃ 时,两组钢中的 Mo 元素大多处于固溶态,此时钢中主要为富 Ti 的 (Ti, Mo)C 粒子和富 Nb 富 Ti 的 (Ti, Nb, Mo)C 的粒子。随着温度的降低,Ti-Mo 和 Ti-Nb-Mo 钢中的 Ti 的固溶量逐渐降低,最后近乎为零。

当温度低于 $650 \, ^{\circ} \mathrm{C}$ 时,Ti-Mo 和 Ti-Nb-Mo 钢中 Mo 元素析出迅速,从而使曲线呈 " ϵ " 形。由于 Nb 元素析出,使(Ti, Nb, Mo)C 的形核速率较(Ti, Mo)C 有所加快。与 Ti-Mo 和 Ti-Nb-Mo 钢相比,Ti-Nb-Mo-V 钢在铁素体区主要析出富 V 的碳化物粒子,V 在铁素体中析出的相对温度相对较高,另外 V 消耗掉了钢中的 C,使 Mo 析出减少,从而使 PTT 曲线呈 "C"形。在铁素体区,Ti-Mo 钢和 Ti-Nb-Mo 钢主要析出富 Mo 的(Ti, Mo)C 和(Ti, Nb, Mo)C 粒子,而 Ti-Nb-Mo-V 钢中不仅有较多的 Mo 元素析出,更有大量的 V 元素析出,从而导致富 V 的(Ti, Nb, Mo, V)C 形核速率明显快于(Ti, Mo)C 和 (Ti, Nb, Mo)C。

表 5 试验钢中碳化物在铁素体中均匀形核的计算结果
Table 5 Calculation results of uniform nucleation of carbides in ferrite in experimental steels

<i>T</i> /°C	Ti-Mo		Ti-l	Nb-Mo	Ti-Nb-Mo-V	
1/ G	lg(I/K)	$\lg(t_{0.05 \text{ a}}/t_{0 \text{ a}})$	lg(I/K)	$\lg(t_{0.05 \text{ a}}/t_{0 \text{ a}})$	lg(I/K)	$\lg(t_{0.05 \text{ a}}/t_{0 \text{ a}})$
500	-64.57	57.76	-43.81	44.65	-25.71	32.34
550	-87.03	71.80	-54.66	50.90	-25.51	31.24
600	-129.97	99.61	-83.74	69.41	-25.38	30.31
650	-156.16	116.42	-137.18	104.27	-25.20	29.46
700	-70.89	59.21	-70.52	59.20	-25.27	28.85
750	-53.80	47.46	-51.04	45.66	-26.36	28.99
800	-62.22	52.60	-62.15	52.53	-29.61	30.60





(a) NrT 曲线; (b) PTT 曲线

图 9 试验钢中析出相在铁素体中均匀形核的的 NrT 曲线和 PTT 曲线 Fig. 9 NrT and PTT curves of uniform nucleation of the precipitated phases in ferrite in experimental steels

表 6 为 Ti-Mo、Ti-Nb-Mo 和 Ti-Nb-Mo-V 钢中碳化物在铁素体中位错线上形核的计算结果。将表 6 的数据绘成图 10。从图 10 看出, (Ti, Mo)C和 (Ti, Nb, Mo)C 在铁素体中位错线上的析出规律

与图 9 一致,但碳化物沉淀析出孕育时间明显缩短。 Ti-Nb-Mo-V 钢中碳化物的开始析出时间随着温度 的升高单调递减,温度越高形核速率越快。其中 (Ti, Nb, Mo, V)C 的相对形核率随温度的降低而减小^[14]。

	表 6	试验钢中碳化物在铁素体中位错线上形核的计算结果
Table 6	Calculation	results of carbide nucleation in ferrite dislocation in experimental steels

T/℃	Ti-Mo		Ti-Nb-Mo		Ti-Nb-Mo-V	
1/ C	lg(I/K)	$\lg(t_{0.05 \text{ a}}/t_{0 \text{ a}})$	lg(I/K)	$\lg(t_{0.05 \text{ a}}/t_{0 \text{ a}})$	lg(I/K)	$\lg(t_{0.05 \text{ a}}/t_{0 \text{ a}})$
500	-31.79	41.50	-18.37	28.80	-16.158 9	26.34
550	-47.79	56.56	-23.77	33.21	-15.440 1	24.65
600	-81.13	89.09	-42.06	50.63	-14.8082	23.18
650	-103.85	111.15	-81.54	89.34	-14.253 8	21.90
700	-40.7	47.64	-37.35	44.52	-13.749 1	20.74
750	-30.17	36.75	-27.27	33.88	-13.254 6	19.65
800	-36.86	42.97	-36.17	42.25	-12.7449	18.59

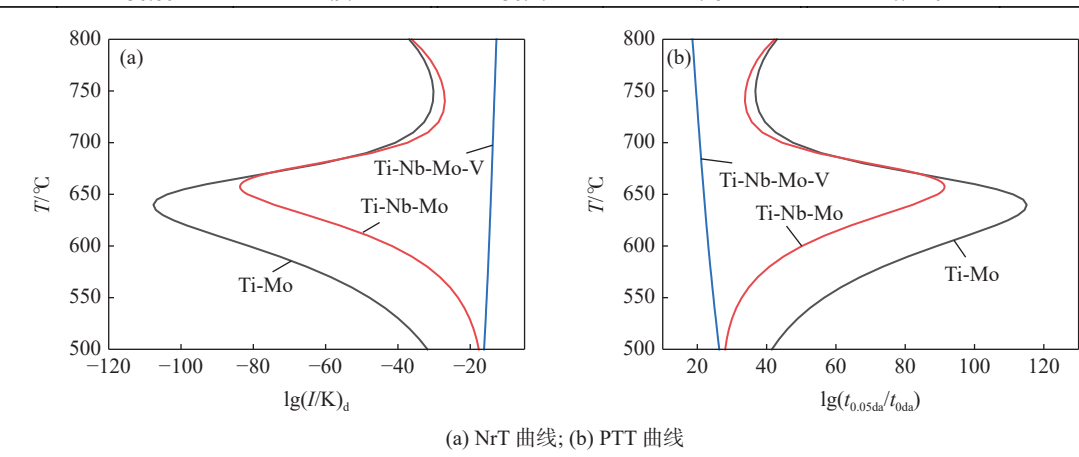


图 10 Ti-Mo、Ti-Nb-Mo 和 Ti-Nb-Mo-V 钢中析出相在铁素体中位错线上形核的 NrT 曲线和 PTT 曲线 Fig. 10 NrT curves and PTT curves of the precipitated phases nucleation on dislocations in ferrite in Ti-Mo, Ti-Nb-Mo and Ti-Nb-Mo-V steels

3 结论

1)在奥氏体区, Ti-Mo 钢主要析出富 Ti 的 (Ti, Mo)C 的粒子, 在较高温度区间, Ti-Nb-Mo 钢和 Ti-Nb-Mo-V 钢中主要是富 Ti 富 Nb 的 (Ti, Nb, Mo)C 和 (Ti, Nb, Mo, V)C 粒子。温度低于 650 ℃ 时, Ti-Mo 和 Ti-Nb-Mo 钢中主要析出富 Mo 的 (Ti, Mo)C 和 (Ti, Nb, Mo)C 粒子。温度低于 850 ℃ 时, Ti-Nb-Mo-V 钢中主要析出富 V 的 (Ti, Nb, Mo, V)C 粒子。

2)无论是均匀形核还是位错形核,(Ti, Mo)C、(Ti, Nb, Mo)C 在奥氏体中的 NrT 和 PTT 曲线分别 呈反 "C"形和 "C"形,在铁素体中沉淀析出的 NrT 和 PTT 曲线分别呈反 "ε"形和 "ε"形。(Ti, Nb, Mo, V)C 在奥氏体中沉淀析出的 NrT 曲线呈反 "ε"形,

随着温度的降低,开始析出时间先缩短后延长;在铁素体中均匀形核的 NrT 和 PTT 曲线分别呈反 "C"形和 "C"形,在位错形线上形核的速率随温度升高单调递增。

3)在奥氏体区, 当温度高于 860 ℃ 时, Nb 元素的添加促进了 Ti-Mo 钢中碳化物 (Ti, Mo)C 的析出。温度高于 890 ℃ 时, 在 Ti-Nb-Mo 钢中添加 V使 (Ti, Nb, Mo, V)C 形核孕育时间缩短。计算表明 (Ti, Mo)C、(Ti, Nb, Mo)C 和 (Ti, Nb, Mo, V)C 在奥氏体中 PTT 曲线对应的鼻子点温度分别在 840、920 ℃ 和 980 ℃ 左右。在铁素体区, V 的加入使 (Ti, Mo)C 和 (Ti, Nb, Mo)C 的开始析出时间缩短, 形核率增大, 显著促进了 Ti-Mo 钢和 Ti-Nb-Mo 钢中碳化物的析出。

参考文献

- [1] Chen Zihao, Zhang Ke, Fu Xibin, *et al.* Effect of V content on microstructure and mechanical properties of Ti-V composite microalloy steel[J]. The Chinese Journal of Process Engineering, 2021, 21(7): 827–835. (陈子豪, 张可, 付锡彬, 等. V含量对Ti-V复合微合金钢组织和力学性能的影响[J]. 过程工程学报, 2021, 21(7): 827–835.)
- [2] Zhou Dan, Chai Xiyang, Liang Fengrui, *et al.* Effects of V, V-N and V-Nb microalloying on microstructure and properties of high-strength ship plate steel[J]. Heat Treatment of Metals, 2019, 44(6): 60-64. (周丹, 柴希阳, 梁丰瑞, 等. V、V-N与V-Nb微合金化对高强船板钢组织与性能的影响[J]. 金属热处理, 2019, 44(6): 60-64.)

- [3] Li Jing, Yuan Shaoqiang, Chu Xiangzhi. Dissolution behavior of the second phase in Nb-Ti microalloy steel[J]. Foundry Technology, 2017, 38(9): 2087–2089, 2095. (李敬, 苑少强, 褚祥治. Nb-Ti微合金钢中第二相的溶解行为[J]. 铸造技术, 2017, 38(9): 2087–2089, 2095.)
- [4] Zheng Y X, Wang Q, Zhu L G, *et al.* Microstructure evolution and carbide precipitation behavior of microalloyed TS800TB steel during hot rolling and coiling processes[J]. Materials Science and Engineering: A, 2022, 840: 142902.
- [5] Zheng Y X, Shen W, Zhu L G, *et al*. Effects of composition and strain rate on hot ductility of Cr-Mo-alloy steel in the two-phase region[J]. High Temperature Materials and Processes, 2021, 40(1): 228–240.
- [6] Zheng Y X, Wang F M, Chang R. Effect of compound addition of Nb-B on hot ductility of Cr-Mo alloy steel[J]. Materials Science & Engineering A, 2018, 715: 194–204.
- [7] Zhang D Q, Liu G, Zhang K, *et al.* Effect of Nb microalloying on microstructure evolution and mechanical properties in low carbon medium manganese steel[J]. Materials Science & Engineering A, 2021, 824: 1–13.
- [8] Zhang K, Wang H, Sun X J, et al. Precipitation behavior and microstructural evolution of ferritic Ti-V-Mo complex microalloyed steel[J]. Acta Metallurgica Sinica (English Letters), 2018, 31(9): 9.
- [9] Nidhi Bansal G, Atul G, Mohit B. Effect of cold work, ageing on hardness and ultimate tensile strength of microalloyed steel[J]. Key Engineering Materials, 2022, 6671; 116–123.
- [10] Liu H L, Yang B, Chen Y, et al. Precipitation law of vanadium in microalloyed steel and its performance influencing factors[J]. Materials, 2022, 15(22): 8146–8146.
- [11] Pravendra Pratap S, Sadhan G, Suhrit M. Strengthening behaviour and failure analysis of hot-rolled Nb+V microalloyed steel processed at various coiling temperatures[J]. Materials Science & Engineering A, 2022, 859: 144210.
- [12] Liu Xin. Effect of vanadium content on precipitation behavior and microstructure properties of Nb-V-Ti microalloy steel[D]. Shengyang: Northeastern University, 2019.

 (刘欣. 钒含量对Nb-V-Ti微合金钢析出行为及组织性能的影响[D]. 沈阳: 东北大学, 2019.)
- [13] Ni Lingling, Zhang Ke, Yuan Wenyang, *et al.* Effect of austenite deformation temperature on precipitation kinetics, microstructure and hardness of Ti-V composite microalloy steel[J]. Nonferrous Metals Science and Engineering, 2021, 12(6): 64–71. (倪玲玲, 张可, 袁文洋, 等. 奥氏体变形温度对Ti-V复合微合金钢析出动力学及组织和硬度的影响[J]. 有色金属科学与工程, 2021, 12(6): 64–71.)
- [14] Gan Xiaolong. Study on the effect of V on the second phase precipitation behavior and microstructure properties of Ti-Mo microalloy steel[D]. Wuhan: Wuhan University of Science and Technology, 2019. (甘晓龙. V对Ti-Mo微合金钢第二相析出行为及组织性能的影响研究[D]. 武汉: 武汉科技大学, 2019.)
- [15] Yao Na, Xing Chao. Precipitation kinetics of composite carbides in Nb-Ti-V-Mo microalloy steel[J]. Iron Steel Vanadium Titanium, 2022, 43(4): 142-149. (姚娜, 兴超. Nb-Ti-V-Mo微合金钢中复合碳化物的析出动力学[J]. 钢铁钒钛, 2022, 43(4): 142-149.)
- [16] Zhang Ke, Sun Xinjun, Zhang Mingya, *et al.* Kinetics of precipitation and precipitation of (Ti, V, Mo)C in γ/α in Ti-V-Mo composite microalloy steel[J]. Acta Metallurgical Sinica, 2018, 54(8): 1122–1130. (张可, 孙新军, 张明亚, 等. Ti-V-Mo复合微合金钢中(Ti, V, Mo)C在γ/α中沉淀析出的动力学[J]. 金属学报, 2018, 54(8): 1122–1130.)
- [17] Yang Hailin. Study on the toughening mechanism and microstructure properties of Ti-Nb microalloyed high-strength steel[D]. Wuhan: Wuhan University of Science and Technology, 2021. (杨海林. Ti-Nb微合金化高强钢强韧化机理及组织性能研究[D]. 武汉: 武汉科技大学, 2021.)
- [18] Bu Fanzheng, Wang Yubin, Zheng Lianhui, *et al.* Nanocarbide precipitation behavior during tempering of Ti-Mo microalloy steel[J]. Journal of Iron and Steel Research, 2018, 30(11): 928–934.

 (卜凡征, 王玉斌, 郑连辉, 等. Ti-Mo微合金钢回火过程中纳米碳化物析出行为[J]. 钢铁研究学报, 2018, 30(11): 928–934.)
- [19] Liu Xiang, Du Qunli, Li Xin. Effect of heating process on austenitic grain growth of Nb-Ti microalloy steel[J]. Iron and Steel, 2019, 54(9): 116–120, 131.
 (刘祥, 杜群力, 李新. 加热工艺对Nb-Ti微合金钢奥氏体晶粒长大的影响[J]. 钢铁, 2019, 54(9): 116–120, 131.)
- [20] Yi Hang. Study on second phase precipitation behavior and microstructure properties in Ti-Mo-V composite microalloy steel[D]. Wuhan: Wuhan University of Science and Technology, 2020.
 (易航. Ti-Mo-V复合微合金钢中第二相析出行为及组织性能研究[D]. 武汉: 武汉科技大学, 2020.)
- [21] Yu Yinjun, Zhao Shiyu, Zhang Ke, *et al.* Effect of isothermal cooling time on microstructure transformation and hardness of Ti-V-Mo composite microalloy steel[J]. Heat Treatment of Metals, 2021, 46(6): 95–101. (于银俊, 赵时雨, 张可, 等. 温冷却时间对Ti-V-Mo复合微合金钢组织转变及硬度的影响[J]. 金属热处理, 2021, 46(6): 95–101.)
- [22] Han Rong. Study on strengthening mechanism of Ti-V-Mo composite microalloy thermoformed automotive steel[D]. Kunming: Kunming University of Science and Technology, 2022. (韩荣. Ti-V-Mo复合微合金化温成形汽车钢的强化机理研究[D]. 昆明: 昆明理工大学, 2022.)
- [23] Yong Qilong. Secondary phases in steel[M]. Beijing: Metallurgical Industry Press, 2006. (雍岐龙. 钢铁材料中的第二相[M]. 北京: 冶金工业出版社, 2006.)